

02;04;12

## **Источник рентгеновского излучения на основе наносекундного разряда в воздухе атмосферного давления с субнаносекундной длительностью импульса**

© И.Д. Костыря, В.Ф. Тарасенко

Институт сильноточной электроники СО РАН, Томск  
E-mail: VFT@loi.hcei.tsc.ru

Поступило в Редакцию 24 декабря 2008 г.

Исследованы характеристики рентгеновского излучения из диода, заполненного воздухом атмосферного давления. На основе генератора СЛЭП-150 (максимальная амплитуда напряжения  $\sim 140$  kV, длительность импульса на полувысоте  $\sim 1$  ns и длительность фронта  $\sim 0.3$  ns) создан источник мягкого рентгеновского излучения с длительностью импульса на полувысоте не более 600 ps и экспозиционной дозой  $\sim 3$  mR за импульс. Показано, что основной вклад в регистрируемую экспозиционную дозу дают рентгеновские кванты с эффективной энергией  $\sim 7.5$  keV.

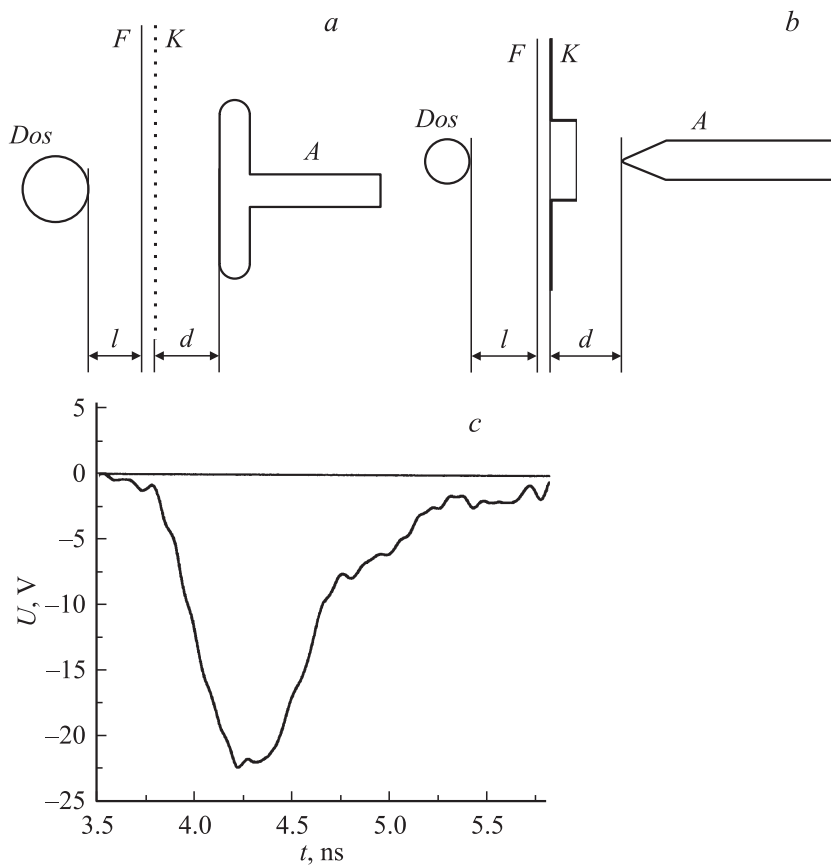
PACS: 52.80.Mg

1. Хорошо известно, что при наносекундном пробое различных газов повышенного давления генерируются рентгеновское излучение и пучки убегающих электронов (см. [1–10], а также ссылки в этих работах). Наибольшие экспозиционные дозы рентгеновского излучения при наносекундном разряде в газах повышенного давления регистрируются в неоднородном электрическом поле с катодом, имеющим малый радиус кривизны. Величина экспозиционной дозы рентгеновского излучения, как правило, уменьшается с ростом давления в газонаполненном диоде и при заполнении диода тяжелыми газами. За окном газового диода, заполненного воздухом атмосферного давления, при наносекундной длительности импульса высокого напряжения наибольшая экспозиционная доза рентгеновского излучения  $\sim 1.5$  mR была получена в работах [9,10] в режиме генерации сверхкороткого лавинного электронного

пучка (СЛЭП) с наибольшей амплитудой. На промежуток подавались импульсы напряжения отрицательной полярности от генератора РАДАН-220 [11]. Рентгеновское излучение регистрировалось за анодом из медной фольги толщиной  $20\ \mu\text{m}$ , который соединялся с корпусом газового диода. Дозиметр Argow-Tech, Inc (Model 138) устанавливался на расстоянии  $1\text{--}2\ \text{mm}$  от анода. Зарегистрированная длительность импульса рентгеновского излучения не превышала  $2\ \text{ns}$  на полувысоте и определялась временным разрешением полупроводникового детектора СППД11-04. Энергия рентгеновских квантов за окном газового диода была сравнительно высокой. В экспозиционную зону основной вклад давали две группы рентгеновских квантов с эффективной энергией  $\sim 30$  и  $\sim 80\ \text{keV}$ . Недостатком источника коротких импульсов рентгеновского излучения, описанного в [9,10], является распространение в одном направлении с рентгеновскими квантами электронов пучка, который также регистрировался за медной фольгой толщиной  $20\ \mu\text{m}$ . Как показали наши исследования [9,10], полупроводниковые детекторы (СППД11-04) и фотопленка РФ-3 имели чувствительность к электронам пучка в несколько раз большую, чем к рентгеновским квантам. Данное обстоятельство затрудняет применение рентгеновского излучения, формируемого в газовых диодах, а также регистрацию рентгеновского излучения. В [12] экспериментально было показано, что при использовании потенциального анода в газовом диоде, как и в вакуумном, можно получать потоки рентгеновского излучения без наличия в них электронов пучка. Однако эффективность рентгеновского источника была мала, экспозиционная доза за окном газового диода не превышала  $0.1\ \text{mR}$ .

Цель данной работы — создать на основе заполненного воздухом атмосферного давления диода источник рентгеновского излучения с длительностью импульса на полувысоте менее  $1\ \text{ns}$  эффективной энергией рентгеновских квантов  $< 10\ \text{keV}$ , который бы позволял получать экспозиционные дозы мягкого рентгеновского излучения  $> 1\ \text{mR}$ . При этом в потоке рентгеновских квантов за окном газового диода электронов пучка не должно быть.

2. Эксперименты проводились с использованием трех наполненных воздухом атмосферного давления промежутков, два из которых показаны на рис. 1, а третий описан в [5, 7, 9, 10]. На газовые диоды подавались импульсы напряжения от генератора СЛЭП-150 [13], который имел волновое сопротивление высоковольтной линии  $\sim 30\ \Omega$ . Амплитуда им-



**Рис. 1.** Расположение электродов в газонаполненном диоде (*a*, *b*) и осциллограмма импульса рентгеновского излучения (*c*). *Dos* — дозиметр, *A* — анод, *F* — фильтр из фольги, *K* — катод,  $l$  — расстояние между фильтром и анодом,  $d$  — расстояние между катодом и анодом.

пульса напряжения на высокоомной нагрузке составляла  $\sim 140$  kV. Длительность импульса напряжения при согласованной нагрузке составляла  $\sim 1$  ns, а его фронт  $\sim 0.3$  ns. Отметим, что энергия, запасаемая в высоковольтной линии генератора СЛЭП-150, была в  $\sim 10$  раз меньше, чем в

генераторе РАДАН-220, а максимальное напряжение генератора было в  $\sim 1.5$  раза меньше. В работе использовались импульсы напряжения как положительной, так и отрицательной полярности. При положительной полярности генератора импульсы напряжения подавались на плоский анод диаметром 30 mm с закругленными краями (рис. 1, *a*) или на анод в виде конуса с диаметром основания 6 mm и закругленной радиусом 1 mm вершиной (рис. 1, *b*). Применялись катоды двух типов: из сетки с шагом 10 mm (рис. 1, *a*) и из медного кольца (рис. 1, *b*). Сетка была выполнена из нержавеющей стали, диаметр отдельных проволочек равнялся 0.5 mm. За фольгой, на которой крепились трубчатые катоды, и за сеткой на расстоянии 3.5 mm устанавливались экраны из медной или алюминиевой фольги. Экраны соединялись по всему периметру с корпусом газового диода. Плоская поверхность анода на рис. 1, *a* выполнялась из нержавеющей стали. Анод в виде стержня также был выполнен из нержавеющей стали. В третьем газовом диоде катод был выполнен в виде трубки диаметром 6 mm из нержавеющей стали с толщиной стенки 100  $\mu\text{m}$ , а заземленный анод из алюминиевой или медной фольги был плоским.

Экспозиционная доза рентгеновского излучения определялась с помощью дозиметра Arrow-Tech, Inc (Model 138), порог чувствительности которого соответствовал энергии квантов  $\sim 5 \text{ keV}$ . При энергии квантов 30 keV чувствительность дозиметра достигала максимума и при дальнейшем увеличении энергии рентгеновских квантов существенно не изменялась. Форма импульсов рентгеновского излучения и их относительная амплитуда регистрировались с помощью алмазного детектора, временное разрешение которого составляло  $\sim 0.6 \text{ ns}$ . Кроме того, рентгеновское излучение и электронный пучок фиксировались по засветке пленки РФ-3, которая помещалась в черную бумагу толщиной  $\sim 100 \mu\text{m}$ . Для измерения электрических сигналов использовались осциллографы TDS6604 (6 GHz, 20 GS/s) или TDS-3034 (0.3 GHz, 2.5 GS/s).

3. Предварительные эксперименты при отрицательной полярности импульсов высокого напряжения генератора СЛЭП-150 с третьим газовым диодом показали, что наибольшая экспозиционная доза рентгеновского излучения, как и в работах [9,10], составляет за один импульс  $\sim 0.6 \text{ mR}$ . В этих экспериментах использовались анод из медной фольги толщиной 20  $\mu\text{m}$ , который был соединен с корпусом диода, и межэлектродный зазор 12 mm. При использовании анода из алюминиевой фольги толщиной 10  $\mu\text{m}$  экспозиционная доза уменьшалась в  $\sim 2$  раза,

а амплитуда СЛЭП увеличивалась в пять раз и составила  $\sim 10$  А. Почернение пленки РФ-3 за анодом из алюминиевой фольги толщиной  $10\ \mu\text{m}$  также было более сильным, чем за анодом из медной фольги толщиной  $20\ \mu\text{m}$ .

Исследования величины экспозиционной дозы при различных катодах и анодах показало, что наибольшие дозы рентгеновского излучения регистрируются при использовании катода из сетки и плоского анода (рис. 1, а), на который подавались импульсы высокого напряжения положительной полярности. Экспозиционная доза рентгеновского излучения зависела от толщины и материала фильтра  $F$  и была наибольшей при минимальной толщине фильтра (алюминий,  $10\ \mu\text{m}$ ), который устанавливался за сетчатым катодом  $K$ . Эта доза при межэлектродном зазоре  $4\ \text{mm}$  составила  $\sim 1.5\ \text{mR}$ . Если учесть кривую чувствительности дозиметра Argow-Tech, Inc (Model 138), то регистрируемую дозу необходимо увеличить в два раза, и она составила не менее  $3\ \text{mR}$  за импульс. Основной вклад ( $> 90\%$ ) в эту дозу дает сравнительно мягкое рентгеновское излучение, которое получить при использовании вакуумного диода и субнаносекундного генератора из-за влияния на амплитуду тока пучка объемного заряда существенно сложнее. Ток  $I$  пучка в плоском вакуумном диоде при  $S \gg d^2$  определяется выражением [11]:

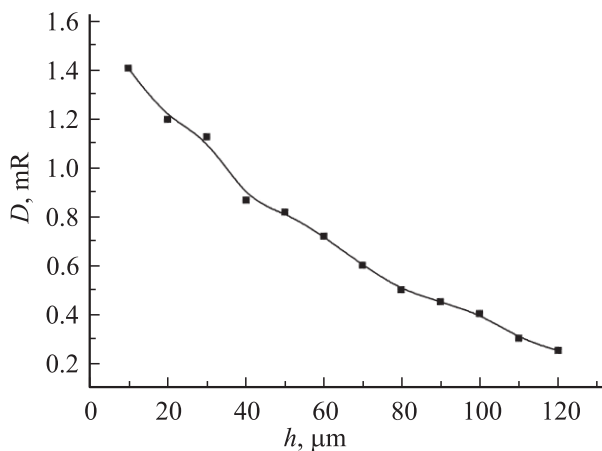
$$I = (2e/m)^{1/2} U^{3/2} S / 9\pi d^2, \quad (1)$$

где  $e$  и  $m$  — заряд и масса электрона,  $U$  — напряжение на промежутке,  $S$  — площадь катода,  $d$  — межэлектродный промежуток. Для получения рентгеновских квантов преимущественно с энергией  $< 10\ \text{keV}$  необходимо уменьшать напряжение на промежутке, однако ток пучка в вакуумном диоде при этом существенно уменьшится. Кроме того, в вакуумных диодах долю мягкого рентгеновского излучения уменьшает поглощение в окне, используемом для вывода рентгеновского излучения из вакуума в воздух.

На рис. 2 приведены зависимости величины экспозиционной дозы от толщины фильтра из алюминия. Оценка показала, что эффективная энергия рентгеновских квантов составляет  $\sim 7.5\ \text{keV}$ . Эффективная энергия рентгеновских квантов определялась из соотношения

$$D_2 = D_1 \exp(-\mu\rho h), \quad (2)$$

где  $D_1$  — экспозиционная доза перед фильтром  $h[\text{mR}]$ ,  $D_2$  экспозиционная доза за фильтром  $h[\text{mR}]$ ,  $\mu$  — массовый коэффициент



**Рис. 2.** Кривые ослабления экспозиционной дозы рентгеновского излучения фильтрами из алюминия для газового диода на рис. 1, а.

ослабления [ $\text{cm}^2/\text{g}$ ],  $\rho$  — плотность фильтра [ $\text{g}/\text{cm}^3$ ],  $h$  — толщина фильтра [ $\text{cm}$ ]. По данным рис. 2 и формулы (2) для рентгеновских квантов рассчитывалась величина  $\mu$ . Далее из таблиц в [14] выбиралась энергия рентгеновских квантов, которая соответствовала величине  $\mu$ . Данная энергия рентгеновских квантов определялась как эффективная энергия.

На рис. 1, с приведена осциллограмма импульса рентгеновского излучения, полученная с помощью алмазного детектора. Длительность импульса рентгеновского излучения на полувысоте составила  $\sim 600$  ps и соответствовала временному разрешению используемого детектора. Как было показано нами ранее [9], длительность импульса СЛЭП в этих условиях не превышает 80 ps на полувысоте при регистрации тока пучка через отверстие диаметром 1 mm и увеличивается до  $\sim 100$  ps при регистрации тока пучка со всей поверхности фольги. Механизм генерации СЛЭП с учетом последних экспериментальных данных, который определяет параметры импульсов рентгеновского излучения, подробно изложен в [9].

4. Таким образом, в данной работе показано, что на основе наносекундного диффузного разряда в воздухе атмосферного давле-

ния можно создавать источники мягкого рентгеновского излучения с субнаносекундной длительностью импульса и сравнительно большой экспозиционной дозой ( $> 3 \text{ mR}$ ). По сравнению с источниками рентгеновского излучения на основе вакуумных диодов источники с газовыми диодами атмосферного давления отличаются простотой и потенциально имеют большой срок службы. При использовании газового диода нет необходимости формировать субнаносекундный импульс высокого напряжения, что существенно упрощает конструкцию высоковольтного импульсного генератора, а также нет необходимости использовать для вывода рентгеновского излучения тонкие вакуумноплотные фольги, что значительно повышает надежность диода и упрощает его конструкцию.

## Список литературы

- [1] Станкевич Ю.Л., Калинин В.Г. // ДАН СССР. 1967. Т. 177. № 1. С. 72–73.
- [2] Тарасова Л.В., Худякова Л.Н., Лойко Т.В., Цукерман В.А. // ЖТФ. 1974. Т. 44. В. 3. С. 564–568.
- [3] Буранов С.Н., Горохов В.В., Карелин В.И., Павловский А.И., Ретин П.Б. // Квантовая электроника. 1991. Т. 18. № 7. С. 891–893.
- [4] Васильяк Л.М., Ветчинин С.П., Поляков Д.Н. // Письма в ЖТФ. 1999. Т. 25. В. 18. С. 74–80.
- [5] Tarasenko V.F. // Appl. Phys. Lett. 2006. V. 88. N 8. P. 1501(1–3).
- [6] Krompholz H.G., Hatfield L.L., Neuber A.A., Kohl K.P., Chaporro J.E., Ryu H.-Y. // IEEE Trans. of Plasma Science. 2006. V. 34. N 3. P. 927–936.
- [7] Костыря И.Д., Тарасенко В.Ф. // Письма в ЖТФ. 2007. Т. 33. В. 10. С. 41–48.
- [8] Ретин П.Б., Ретьев А.Г. // ЖТФ. 2008. Т. 78. В. 1. С. 78–85.
- [9] Tarasenko V.F., Baksht E.K., Burachenko A.G., Kostyrea I.D., Lomaev M.I., Rybka D.V. // Plasma Devices and Operation. 2008. V. 16. N 4. P. 267–298.
- [10] Тарасенко В.Ф., Бакут Е.Х., Бураченко А.Г., Костыря И.Д., Ломаев М.И., Петин В.К., Рыбка Д.В., Шляхтун С.В. // Физика плазмы. 2008. Т. 34. № 12. С. 1110–1119.
- [11] Месяц Г.А. Импульсная энергетика и электроника. М.: Наука, 2004. 704 с.
- [12] Kostyrya I.D., Tarasenko V.F. // Изв. вузов. Физика. 2006. № 11. Приложение. С. 112–115.
- [13] Костыря И.Д., Тарасенко В.Ф., Шитц Д.В. // ПТЭ. 2008. № 4. С. 159–160.
- [14] Saloman E.B., Hubbell J.H., Scofield J.H. // Data Nucl. Data Tables. 1988. V. 38. P. 1–197.